

# Časopis pro pěstování matematiky a fyziky

---

Alois Zátopek

Příspěvek k experimentálnímu vyšetřování energetických poměrů ve dvou induktivně spřažených oscilačních kruzích

Časopis pro pěstování matematiky a fyziky, Vol. 62 (1933), No. 6, 233--251

Persistent URL: <http://dml.cz/dmlcz/121187>

## Terms of use:

© Union of Czech Mathematicians and Physicists, 1933

Institute of Mathematics of the Academy of Sciences of the Czech Republic provides access to digitized documents strictly for personal use. Each copy of any part of this document must contain these *Terms of use*.



This paper has been digitized, optimized for electronic delivery and stamped with digital signature within the project *DML-CZ: The Czech Digital Mathematics Library* <http://project.dml.cz>

**Příspěvek k experimentálnímu vyšetřování energetických poměrů ve dvou induktivně spřažených oscilačních kruzích.**

*Alois Zátopek.*

(Došlo 1. října 1932.)

Úvod. Popis aparatury. Měření: Část I. a) Křivky  $W_1$  a  $W_2$  pro případ  $\omega_1 = \omega_2$ ,  $\omega$  proměnné. b) Obory jednoduchých a rozštěpených křivek  $W_1$  a  $W_2$ . c) Maximální přenos energie do sekundárního kruhu pro  $\omega_1 = \omega_2 = \omega$ . Část II. Energetické křivky  $W_1$  a  $W_2$  v případech  $\omega_1$  a  $\omega_2$  konstantní, při čemž  $\omega_1 \leq \omega_2$ ,  $\omega$  generátoru je proměnné. Část III. Frekvence generátoru  $\omega$  je konstantní, mění se buď  $\omega_1$  nebo  $\omega_2$ . Energetické křivky  $W_1$  a  $W_2$  v případech: a) mění se  $\omega_1$ , parametrem je  $\omega_2$ ; b) mění se  $\omega_2$ , parametrem je  $\omega_1$ . Maximální přenos energie do sekundárního kruhu v případě rozladěných kruzů. Část IV. Křivky  $I_2^2$  v závislosti na rozladění mezikruhu spřaženého s lampovým generátorem. Část V. Měření faktorů útlumu  $d_1$  a  $d_2$ . Závěr.

*Úvod.*

Tato práce je předně experimentální verifikací výsledků, k nimž došel V. Petržílka v teoretické práci „Příspěvek k teorii dvou spřažených oscilačních kruzů.“<sup>(1)2)</sup> Autor podává ve svém Příspěvku obraz energetických poměrů ve dvou induktivně spřažených oscilačních kruzích v závislosti na frekvenci  $\omega$  vtisknuté elektromotorické síly  $\mathcal{E}$ , vlastních frekvencích  $\omega_1$  a  $\omega_2$  oscilačních kruzů, útlumech  $d_1$  a  $d_2$  a koeficientu vazby  $k$  mezi kruzhy. Vhodnou specifikací uvažovaných problémů dochází k řadě výsledků, jež často překvapují svou jednoduchostí a dají se experimentálně poměrně snadno verifikovati.

Dalším úkolem mé práce je experimentálně doplniti citované pojednání Petržílkovo v případech, kde Petržílka upustil od matematické diskuse pro nepřehlednost vzorců.

Poněvadž předložená práce velice úzce souvisí s citovanou prací Petržílkovou, podržel jsem rozdělení, označení i čísla rovnic,<sup>\*)</sup> jak je užil Petržílka, a doporučuji proto laskavému čtenáři vzít si k ruce jeho pojednání.

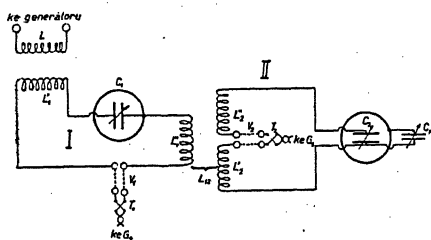
*Popis aparatury.*

Aparatura obsahovala jednak hlavní části: zdroj netlumených vysokofrekventních oscilací a dva induktivně spřažené oscilační kruzhy s měrnými stroji, jednak zařízení pomocná: kalibrační kruh,

<sup>\*)</sup> V dalším uváděná čísla v závorkách na př. (40) značí čísla rovnic pojednání citovaného sub 1.

kruh s křemenným rezonátorem k přesnému nastavení frekvence generátoru a zařízení pro kontrolu konstantnosti frekvence.

Zdrojem netlumených oscilací byl lampový generátor s vlastním buzením. Lampa (RE 134, nebo TB 04/10), pohyblivá mřížková cívka a jedna část samoindukce anodového oscilačního kruhu byly uzavřeny v plechové skříni, která byla uzeměna. Druhá část samoindukce tvořená cívkou  $L$  (obr. 1), která byla určena, aby přenášela energii na oba studované oscilační kruhy, nacházela se několik metrů od generátoru na stole s oscilačními kruhy. Měla tvar válce o průměru 9,5 cm, se 13 závitů vysokofrekvenčního lanka a byla montována na ebonitových 7 cm vysokých stativcích



Obr. 1.  
Oscilační kruhy.

a byla posuvná ve směru své osy. S generátorem ji spojoval kabel s olověným uzeměným obalem. Ke svorkám cívky  $L$  byl připojen elektrostatický voltmetr.

Proměnnou kapacitu oscilačního kruhu generátoru tvořil otočný vzduchový kondensátor maximální kapacity 1000 cm a k němu paralelně připojený, malý kondensátor (circa 100 cm).

K měření proudu v oscilačním kruhu byl do kapacitní větve zapojen tepelný ampérmetr.

Vně skříně byly umístěny také topná i anodová baterie.

Spražené kruhy (obr. 1), na nichž byly energetické poměry studovány, byly namontovány na zvláštním stole vzdáleném několik metrů od generátoru. Kruh I nazývám primárním,ruh II sekundárním.

Primárníruh byl namontován pevně na stole. Jeho samoindukci tvoří dvě cívky  $L'_1$ ,  $L''_1$  stejně veliké, válcovité, průměru 9,5 cm, vinuté z vysokofrekvenčního lanka, každá o 24 závitů. Osy cívek byly ve stejné výši a navzájem kolmé. Osa cívky  $L'_1$  splývá s osou cívky  $L$  generátoru. Kapacita primárního kruhu je tvořena normálním, otočným, vzduchovým kondensátorem  $C_1$ . Kruh obsahuje vypínač  $V_1$  se 4 jamkami naplněnými rtuť, které lze spojit silnými dráty vhodně ohnutými (obr. 1). Tyto dráty lze nahradit neinduktivními odpory z tenkého drátu konstantanového, chceme-li měnit útlum oscilačního kruhu. Mezi dva kontakty vypínače je vepnuto topné vlákno termoelementu  $T_1$  firmy Kipp & Zonen o maximálním zatížení 100 mA. Termoproud vede se šňůrou k zrcátkovému galvanometru  $G_1$ .

Sekundární kruh byl uspořádán pohyblivě na témž stole. Byl namontován na základní dřevěné desce, posuvné po dřevěných kolejničích přišroubovaných na stole, aby bylo možno měniti vzdálenost od kruhu primárního, t. j. vazbu mezi cívkami  $L'_1$  a  $L_2$  ( $L_2$  budu zkrátka označovati cívkou  $L'_2$  a  $L''_2$ ).

Cívka  $L_2$  se skládá vlastně ze dvou stejných cívek, čtvercového průřezu a obsahuje 35 závitů holého měděného drátu 1 mm silného. Osa cívky  $L_2$  splývá s osou cívky  $L'_1$ ; vzdálenost středů cívek  $L_2$  a  $L'_1$  se dala měniti od 10 cm do 70 cm. V kruhu byl zapojen vzduchový, otočný, normální kondensátor. Mezi obě poloviny cívky připojen vypínač  $V_2$ , stejný jako  $V_1$ , a k druhým dvěma kontaktům termoelementu  $T_2$  (o maximálním zatížení 25 mA) se zrcadlovým galvanometrem  $G_2$ .

Velká péče byla věnována odstranění vlivů kapacitních vazeb, které vždy vystupují a působí rušivě. Z toho důvodu jsem se snažil upravit oba kruhy co možná symetricky.<sup>4)5)</sup> U sekundárního kruhu byla i po stránce prostorového uspořádání docílena úplná symetrie. Avšak teprve po zařazení malého pomocného kondensátoru  $C_p$  s dvěma deskami, jichž vzdálenost se dala šroubem velmi jemně regulovati, byl snížen vliv přirozených, rušivých vazeb kapacitních pod mez pozorovacích chyb<sup>3)</sup> (dosahoval nejvýše 0,25% maximální výchylky).

Kalibrace termoelementu byla prováděna stejnosměrným proudem. Výchylka galvanometru byla s přesností 2% úměrná čtverci intenzity topného proudu. Pokusy ukázaly, že kalibrace zůstává správnou i pro vysokou frekvenci. Výchylky jsou tedy úměrné střední hodnotě kvadrátu intenzity a tudíž střední hodnotě energie v oscilačním kruhu.

K měření frekvence užíval jsem vlnoměru firmy Telefunken typu K. W. 61 l. s rozsahem délky vlnové 150 až 6000 m; firmou udaná přesnost je 1%. Později sloužily mi k přesnému nastavení frekvence generátoru křemenné resonátory firmy Loewe, z nichž jsem téměř výhradně užíval resonátoru pro  $\lambda = 300,7$  m ve spojení Heegnerově,<sup>6)</sup> kterým bylo možno nastavit a měřit frekvenci s přesností větší než 1<sup>0</sup>/<sub>100</sub>.

Popsanou aparaturu bylo ještě třeba upravit tak, aby co nejdokonaleji vyhovovala podmínkám předpokládaným v Petržílkově práci:

*Amplituda elektromotorické síly vtisknuté primárnímu kruhu musí být konstantní.* Měření elektrostatickým voltmetrem ukázala, že při žádném z měření neměnila se vtisknutá elektromotorická síla o více než 1,5%. V tom jsou zahrnuty i případy, kdy bylo pracováno s proměnnou frekvencí generátoru.

*Vazba mezi generátorem a kruhy musí být tak volná, aby kruhy nijak zpět na generátor nepůsobily.* Zpětné působení kruhů na gene-

rátor se projevuje jednak změnou intenzity oscilací generátoru, jednak změnou jejich frekvence. Byly-li cívky  $L$ ,  $L'_1$  od sebe vzdáleny aspoň 50 cm, nebylo již zpětné působení kruhů na generátor znatelné na údajích intenzity oscilací; ve vzdálenosti aspoň 70 cm nepůsobily kruhy ani na frekvenci kmitů v generátoru, jak se dalo konstatovati tím, že výška interferenčního tónu vzniklého složením kmitů generátoru a malého pomocného heterodynu zůstávala konstantní nezávisle na tom, co se dělo s oběma kruhy.

*Energie z generátoru se přenáší přímo pouze na cívku  $L'_1$ ; na sekundární kruh generátor přímo nepůsobí.* Byl-li generátor v provozu a primární kruh přerušen, nebylo po odstranění rušivých vlivů kapacitních vazeb pozorováno žádných výchylek galvanometru v uzavřeném sekundárním kruhu než takových, které se daly vysvětliti zcela dobře jinými vlivy (na př. variacemi teploty).

Po této úpravě byly určeny konstanty kruhů: ohmické odpory  $R_1$  a  $R_2$ , samoindukce  $L_1$  a  $L_2$ , vlastní kapacity cívek a přívodů v obou kruzích  $c_1$  a  $c_2$  a koeficient  $L_{12}$  vzájemné indukce mezi cívkami  $L'_1$  a  $L_2$ , jako funkce jejich vzdálenosti  $l$ . Užité metody jsou popsány v literatuře.<sup>7)3)</sup> Z určených konstant byly počítány útlumy  $d_1$  a  $d_2$  a koeficient vazby  $k = L_{12}/\sqrt{L'_1 L_2}$  jako funkce vzdálenosti  $l$ .

### Výsledky měření.

#### Část I.

V první části své práce Petřílka diskutuje výrazy pro celkovou energii  $W$ , dodávanou oscilačním kruhům, energii  $W_1$  v primárním kruhu, energii  $W_2$  v sekundárním kruhu v případě, že frekvence primárního a sekundárního kruhu jsou stejné, t. j.  $\omega_1 = \omega_2$ . Pro zavedené rozladění

$$\eta = 1 - \frac{\omega_1^2}{\omega^2}, \quad \xi = 1 - \frac{\omega_2^2}{\omega^2}$$

platí v uvažovaném případě  $\xi = \eta$ . Příklad  $\xi = \eta$  jsem experimentálně realizoval takto:

Naladíme kruhy I a II na touž frekvenci  $\omega_1 = \omega_2 = \omega_0$  a měníme  $\omega$  generátoru. Tento způsob odpovídá předpokladům teorie, neboť potom jsou  $d_1$  a  $d_2$  skutečně konstantami.

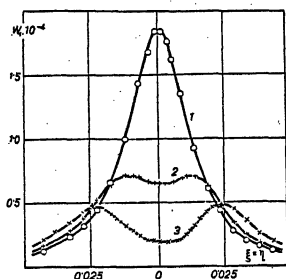
Měření bylo prováděno tak, že nejdříve byla na generátoru nastavena pomocí křemenného resonátoru frekvence  $\omega_0 = 6,27 \cdot 10^6$ . Nato byly oba oscilační kruhy uvedeny co nejpřesněji do resonance ( $\omega_1 = \omega_2 = \omega_0$ ). Potom teprve změnou kapacity v generátoru měnil jsem  $\omega$  kolem střední hodnoty  $\omega_0$ , a to nejvýše o 3%, což stačilo k proběhnutí celé rezonanční křivky. Při tom ovšem nezůstávala

amplituda vtisknuté elektromotorické síly úplně konstantní, měnila se však pouze o 1,5% střední hodnoty.

a) Energie  $W_1$  a  $W_2$  v závislosti na proměnné  $\xi = \eta$  pro různé vazby.

Měřením jsem získal dvojice křivek  $W_1$  a  $W_2$  pro řadu hodnot vazby  $k$ , t. j. pro různé vzdálenosti cívek  $L'_1$  a  $L_2$ , a to tak, že jsem postupoval od vazeb volných k vazbám tužším. Z nich uvádím na obr. 2 a 3 tři dvojice sobě odpovídajících křivek  $W_1$  resp.  $W_2$ .

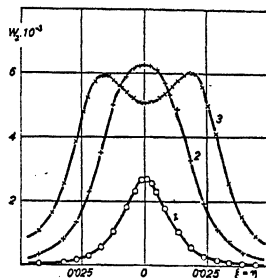
Křivky 1 jsou symetrické vzhledem k ose  $\xi = \eta = 0$ , mají jediné maximum v bodě  $\xi = 0$ . Z obrázků můžeme též vyčísti, jak se rozděluje úhrnná energie mezi oba kruhy. Vidíme, že sekundární kruh přijímá dosud málo energie.



Obr. 2.

Křivky  $W_1$  pro  $\xi = \eta$ .  
 $\omega_1 = \omega_2 = 6,27 \cdot 10^6$  cyklů.

1.  $k = 4,4 \cdot 10^{-3}$ ,
2.  $k = 11,3 \cdot 10^{-3}$ , 3.  $k = 18,3 \cdot 10^{-3}$ .



Obr. 3.

Křivky  $W_2$  příslušné ke křivkám  $W_1$  na obr. 2.

Se vzrůstající vazbou maxima křivek  $W_1$  neustále klesají, znenáhla se stávají ploššími a konečně jednoduché rezonanční křivky přejdou v křivky „rozštěpené“ (s dvěma maximy) (obr. 2, křivka 2). Maxima křivek  $W_2$  nejdříve stoupají až k nejvyšší hodnotě, zvané optimální, pak zvolna klesají, křivky samy zůstávají však ještě jednoduché, ač vrchol jejich se již zplošťuje. Na obr. 3 křivka 2 je ještě jednoduchá, ač odpovídající křivka  $W_1$  (obr. 2, křivka 2) je již rozštěpená.

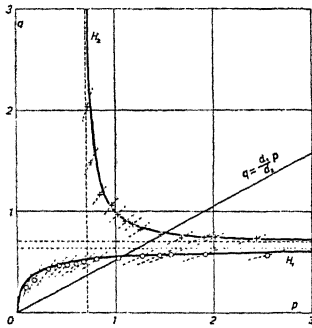
Z toho plyne důležitý poznatek: *mohou současně existovati rozštěpené křivky  $W_1$  a jednoduché křivky  $W_2$* , což je v úplné shodě s teorií.

Zvolíme-li vazbu ještě tužší, pak i křivky  $W_2$  se rozštěpí (obr. 2 a 3, křivky 3) a pokud nejsou široké, jsou dosti dobře symetrické k ose  $\xi = 0$ . S rostoucí vazbou se minimum křivek  $W_1$  i  $W_2$  prohlubuje, maxima se vzdalují od osy pořadnic. Ještě pro  $l = 10$  cm, t. j.  $k = 50 \cdot 10^{-3}$  nebyly odchylky od symetrie značné; je proto předpoklad  $1 - \eta = 1$ , jež učinil Petržílka při diskusi

výrazu pro  $W_1$  resp.  $W_2$ , oprávněný a výsledky teorie jsou dobrým obrazem skutečných poměrů i v oboru, kde již poměr  $k/d > 1$ .

b) *Křivky  $H_1$  a  $H_2$  ohraničující obory jednoduchých a rozštěpených křivek  $W_1$  a  $W_2$ .*

Podle teorie jsou obory jednoduchých a rozštěpených křivek od sebe odděleny algebraickými křivkami  $H_1$  a  $H_2$  v rovině  $p = k/d_1$ ,  $q = k/d_2$  (obr. 4). V oboru ohraničeném křivkou  $H_1$  a souřadnou osou  $p$  existují pouze jednoduché, vně tohoto oboru pouze rozštěpené křivky  $W_1$ . Analogicky v oboru ohraničeném křivkou  $H_2$  a osami souřadnými existují jednoduché, vně tohoto oboru pouze rozštěpené křivky  $W_2$ . Mezi  $H_1$  a  $H_2$  je obor, kde současně existují rozštěpené křivky  $W_1$  a jednoduché  $W_2$ .



Obr. 4.

Vypočtené křivky  $H_1$ ,  $H_2$  se zakreslenými měřenými body.

Experimentálně byly získány křivky  $H_1$  a  $H_2$  takto: Při stálých  $d_1$  a  $d_2$  a proměnném  $k$  pohybujeme se po přímce procházející počátkem, která má směrnici  $d_1/d_2$  (obr. 4). Jestliže vyšetřujeme na takové přímce řadu křivek  $W_1$  a  $W_2$  co do charakteru, dostaneme jeden bod, kde jednoduché křivky  $W_1$  přejdou v rozštěpené a další bod, kde se rozštěpí i křivky  $W_2$ . Jestliže provedeme taková měření pro řadu hodnot  $d_1/d_2$ , dostaneme řadu dvojic bodů, kde se křivky  $W_1$  resp.  $W_2$  štěpí; spojením těchto bodů dostaneme křivky  $H_1$  a  $H_2$ .

Poměr  $d_1/d_2$  jsem měnil vkládáním přídavných odporů do vypínačů  $V_1$  a  $V_2$  (obr. 1) a vyšetřil charakter křivek  $W_1$  a  $W_2$  pro 14 hodnot  $d_1/d_2$ . Tím jsem obdržel 14 bodových dvojic (obr. 4). Z obrázku je viděti, že měřené body leží dobře na teoretických křivkách  $H_1$  a  $H_2$ .

c) *Maximální přenos energie v případě  $\omega = \omega_1 = \omega_2$ , t. j.  $\xi = \eta = 0$ .*

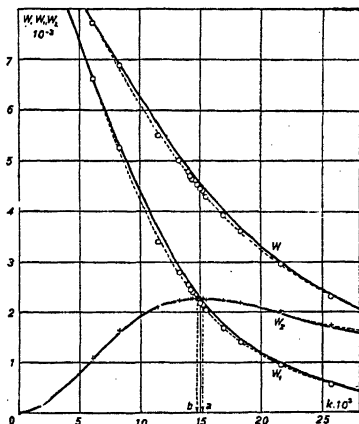
Uvažujeme-li  $W_1$  a  $W_2$  v bodě  $\xi = \eta = 0$  v závislosti na koeficientu vazby  $k$ , dostáváme křivky  $W_1 = f_1(k)$ ,  $W_2 = f_2(k)$ . Jejich experimentální realizace je jednoduchá. Oba kruhy naladíme na frekvenci generátoru a odečítáme hodnoty  $W_1$  a  $W_2$  v závislosti na vazbě.

Takovým způsobem jsem obdržel body čárkovaných křivek na obr. 5 (zakresleno též  $W = W_1 + W_2$ ). Pro srovnání jsem vypočetl z rovnic (20), (29), (32) pomocí měřených konstant křivky  $W$ ,  $W_1$ ,  $W_2$  (obr. 5, křivky plně vytažené) v závislosti na  $k$ .

Srovnáním měření a výpočtu shledáváme, že obojí křivky se navzájem jen nepatrně liší; hlavně u křivky  $W_2$  je souhlas téměř naprostý.

Z obr. 5 je patrné, že  $W_2(\xi=0)$  skutečně v závislosti na  $k$  vzrůstá až k největší hodnotě, t. zv. optimální, načež zvolna klesá. Graf též ukazuje, že pro optimální vazbu je teoretický výsledek  $W_1^{(opt)} = W_2^{(opt)}$  splněn s přesností větší než 2%.

Experiment potvrdil i další zajímavý výsledek teorie. Optimální hodnota  $W_2$  nezávisí na ohmickém odporu sekundárního kruhu. Vkládal jsem do sekundárního kruhu po řadě několik ohmických odporů; hodnoty optimálního maxima se lišily od střední hodnoty nejvýše o 1,5%, jak patrné z tabulky pro jednotlivé přídavné odpory  $\rho$ .



Obr. 5.

Křivky  $W$ ,  $W_1$ ,  $W_2$  v závislosti na  $k$ ;  $\xi = \eta = 0$ . Plně vytažené křivky jsou počítány, čárkované proloženy měřeny body;  $a$  vypočtená,  $b$  naměřená hodnota koeficientu optimální vazby.

$\rho \Omega$	$d_2$	$W_2^{(opt)}$ erg/sec	$k$ měř.	$k_0 = \sqrt{d_1 d_2}$
2,0946	$2,35 \cdot 10^{-2}$	$3,73 \cdot 10^3$	$16,2 \cdot 10^{-3}$	$16,0 \cdot 10^{-3}$
3,373	$2,69 \cdot 10^{-2}$	$3,73 \cdot 10^3$	$17,9 \cdot 10^{-3}$	$17,1 \cdot 10^{-3}$
6,9687	$3,30 \cdot 10^{-2}$	$3,68 \cdot 10^3$	$20,1 \cdot 10^{-3}$	$18,9 \cdot 10^{-3}$
10,1374	$3,84 \cdot 10^{-2}$	$3,66 \cdot 10^3$	$21,6 \cdot 10^{-3}$	$20,4 \cdot 10^{-3}$
15,3268	$4,74 \cdot 10^{-2}$	$3,63 \cdot 10^3$	$24,1 \cdot 10^{-3}$	$22,7 \cdot 10^{-3}$

Z tabulky je zároveň viděti, že optimální vazba nastává s rostoucím  $\rho$  pro větší koeficienty spřažení. I tento fakt je v soulase s teorií. Pro koeficient optimálního spřažení platí totiž vztah  $k_0^2 = d_1 d_2$  (40); vložím odporu do sekundárního kruhu zvětšil jsem  $d_2$  tedy i  $k_0$ . Na př. pro optimální vazbu na obr. 5 plyne z teorie  $k_0 = 15,2 \cdot 10^{-3}$ , z experimentu  $k_0 = 14,8 \cdot 10^{-3}$ . Obě hodnoty spolu souhlasí na 2,6%.

## Část II.

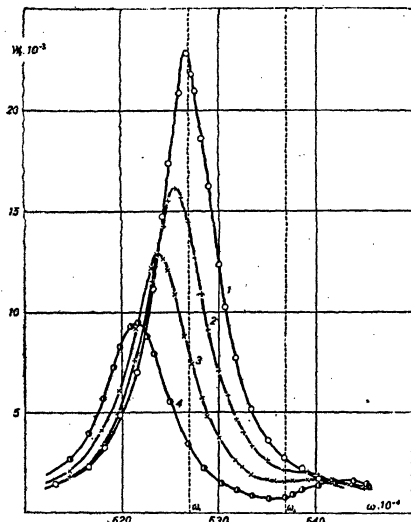
Frekvence  $\omega_1, \omega_2$  jsou konstantní,  $\omega_1 \neq \omega_2$ , frekvence  $\omega$  je proměnná.

V této části se budu zabývat křivkami  $W_1, W_2$  získanými za podmínek poněkud obecnějších: budou to případy, kdy frekvence  $\omega_1, \omega_2$  jsou konstantní a při tom  $\omega_1 \geq \omega_2$ , frekvence generátoru  $\omega$  je proměnná.



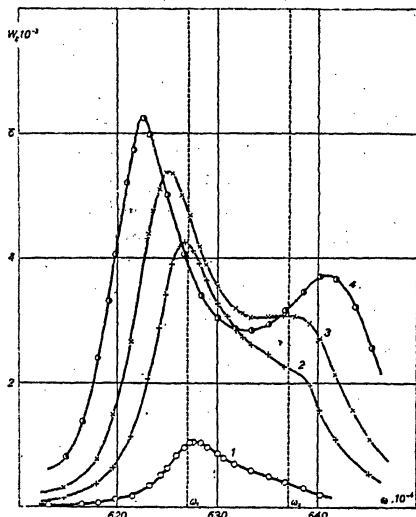
Tyto případy Petrzílka nediskutuje, neboť jde o obtížnou a nepřehlednou diskusi rovnice 5. stupně. Experiment však ukazuje, že tvar rezonančních křivek je poměrně jednoduchý a je patrná jejich úzká souvislost s křivkami části I.

Metoda měření zůstává táž jako v části I. Je pouze ten rozdíl, že frekvence obou kruhů vhodně nastavíme. Postupoval jsem tak, že jsem pomocí křemenného rezonátoru nejdříve naladil generátor



Obr. 6.

Křivky  $W_1$ ;  $\omega_2 > \omega_1$ ; 1.  $k = 4,4 \cdot 10^{-3}$ ,  
2.  $k = 11,3 \cdot 10^{-3}$ , 3.  $k = 15,5 \cdot 10^{-3}$ ,  
4.  $k = 20,4 \cdot 10^{-3}$ .



Obr. 7.

Křivky  $W_2$  příslušné ke křivkám  
 $W_1$  na obr. 6.

a pak i primární kruh na vlnu  $\lambda = 300,7$  m, sekundární kruh byl nejdříve naladěn, zjištěna rezonance a potom o zvolené rozladění  $|\omega_2 - \omega_1|$  rozladěn. Při pevné vzdálenosti cívek  $L''_1, L_2$  jsem získal rezonanční křivku. Tak jsem postupoval od volných vazeb k tužším, a získal řadu křivek při zvoleném rozladění. Postup byl opakován pro různé veliké hodnoty rozladění  $|\omega_2 - \omega_1|$ .

### 1. Frekvence $\omega_2$ je větší než frekvence $\omega_1$ .

Pokud je vazba mezi primárním a sekundárním kruhem volná, jsou rezonanční křivky  $W_1$  velmi přibližně symetrické. Při malých hodnotách rozladění leží jejich vrchol blízko osy, jež udává pevnou, vlastní frekvenci primárního kruhu, a to na straně nižších frekvencí. Při daném rozladění a zvětšující se vazbě posunují se maxima

křivek  $W_1$  k nižším frekvencím (obr. 6). Křivka se zvolna deformuje, až se rozštěpí (obr. 6, křivky 1, 2, 3). Maximum příslušné nižší frekvenci je daleko vyšší než maximum v oboru vyšších frekvencí. Obojí maxima se posunují od pásu vyznačeného vlastními frekvencemi obou kruhů.

O křivkách  $W_2$  můžeme říci: již při volné vazbě jsou značně nesymetrické (obr. 7, křivka 1). Křivka, postupujeme-li od frekvencí nižších k vyšším, vystupuje daleko rychleji k maximu, než od něho klesá. Klesání je téměř lineární. Se vzrůstající vazbou se křivky  $W_2$  deformují (křivka 2). Na obrázku je viděti, jak se křivky znenáhla rozštěpují (křivka 3), až nabývají tvaru křivky 4. Maxima na straně menších frekvencí mají opět větší hodnotu než maxima na straně vyšších frekvencí. Jak křivky  $W_1$ , tak  $W_2$  se s rostoucí vazbou rozšiřují.

Zvětšujeme-li vzájemné rozladění primárního a sekundárního kruhu, mění se křivky pro malé hodnoty koeficientu vazby jen nepatrně. Pro větší vazby se deformují, až se konečně rozštěpí. Nižší maximum se posouvá k větším frekvencím a stává se méně markantním. Vyšší maxima se s rostoucí vazbou posunují k nižším frekvencím.

Křivky  $W_2$  se stávají rozštěpenými již při volných vazbách, posuv maxim zůstává analogický jako u křivek na obr. 7. Hodnoty, jichž dosahuje  $W_2$ , jsou menší.

## 2. Frekvence $\omega_2$ je menší než frekvence $\omega_1$ .

Zcela analogické jsou poměry, jestliže učiníme  $\omega_2 < \omega_1$ . Křivky, které jsem obdržel, jsou jakoby zrcadlovými obrazy křivek dříve popsaných. Pokud se týká charakteru křivek, police jejich extrémů a závislosti na velikosti rozladění obou kruhů, platí s příslušnými změnami totéž, co bylo řečeno pro křivky v případě  $\omega_2 > \omega_1$ .

Výsledky graficky zpracovány vedou k závěru: je-li rozladění nepatrné, neliší se křivky  $W_1$  svým charakterem od křivek  $W_1$  v části I. Pokud jsou jednoduché, je jejich asymetrie poměrně nepatrná, křivky rozštěpené jeví asymetrii v míře daleko značnější i při malých hodnotách rozladění.

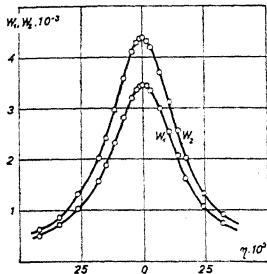
Křivky  $W_2$  jeví asymetrii hned s počátku. Extrémy u obou druhů křivek jeví zákonitý posuv. Přejít od jednoduchých k rozštěpeným rezonančním křivkám je složitější než v části I.

Při malých rozladěních rozštěpují se křivky  $W_1$  dříve než  $W_2$ . S rostoucím rozladěním nastávalo rozštěpení křivek  $W_2$  tím dříve, čím bylo rozladění větší, až se konečně křivky  $W_2$  rozštěpily dříve než křivky  $W_1$ .

## Část III.

*Frekvence  $\omega$  konstantní,  $\omega_1$  nebo  $\omega_2$  proměnné.*

Tento případ byl Petržílkou teoreticky úplně propracován a poskytuje svými výsledky pro experimentální verifikaci bohatý materiál, a to tím spíše, že všechny vzorce byly v tomto případě odvozeny zcela přesně bez jakýchkoli omezujících předpokladů.



Obr. 8.

Křivky  $W_1$ ,  $W_2$  v závislosti na  $\eta$ .  
 $\xi = 0$ ,  $\omega = 6,27 \cdot 10^6$  cyklů,  
 $k = 14,3 \cdot 10^{-3}$  (optimální  
 vazba překročena).

držíme s přesností 3% konstantní hodnoty. Tento zjev potvrzuje správnost Petržílkových úvah, neboť poměr  $W_2/W_1$  (60) kromě konstant kruhů a vazby má záviseti pouze na  $\xi$ , nikoliv na  $\eta$ , ať se toto jakkoliv mění.

$\beta$ )  $\xi > 0$ . Je-li frekvence sekundárního kruhu nižší, než je frekvence generátoru, obdržíme při proměnné kapacitě primárního kruhu křivky zakreslené v obr. 9. Jsou to opět jednoduché rezonanční křivky; podíl  $W_2/W_1$  zůstává rovněž v mezích přesnosti měření konstantní. Maximum křivek  $W_1$  i  $W_2$  leží napravo od osy  $\eta = 0$  a nastává u obou křivek současně pro  $\eta = 3 \cdot 10^{-3}$ . S rostoucím koeficientem sprážením posouvají se maxima neustále k větším pozitivním hodnotám  $\eta$ . U křivek  $W_2$  se ukazuje v závislosti na  $k$  existence optimální vazby. S rostoucím  $\xi$  ( $k = \text{konst.}$ ) zvětšuje se vzdálenost maxima  $W_2$  od osy  $\eta = 0$  a nabývá maxima pro  $\xi = d_2$ , načež se maxima vracejí.

$\gamma$ )  $\xi < 0$ . Sekundární kruh byl nastaven na frekvenci vyšší, než je frekvence generátoru. Resonanční křivky (obr. 10) jsou zrcadlovými obrazy křivek pro  $\xi > 0$ , platí tedy o nich s příslušnou obměnou totéž, co bylo řečeno sub  $\beta$ ).

Nadto lze v tomto případě, kdy frekvence generátoru je konstantní, velmi snadno splniti požadavek, aby amplituda vtisknuté elektromotorické síly zůstávala konstantní.

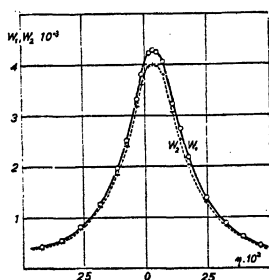
a) Frekvence  $\omega$  a  $\omega_2$  je konstantní,  $\omega_1$  je proměnné.

Při tom může býti:

a)  $\xi = 0$ . Energie  $W_1$  a  $W_2$  měříme při proměnné kapacitě, t. j. frekvenci primárního kruhu, sekundární kruh je naladěn na vlnu generátoru. Typické křivky (obr. 8), měřené při  $\lambda = 300,7$  m. mají tvar obyčejných rezonančních křivek s jediným maximem v bodě  $\eta = 0$  a jsou symetrické. Utvoříme-li poměr  $W_2/W_1$ , ob-

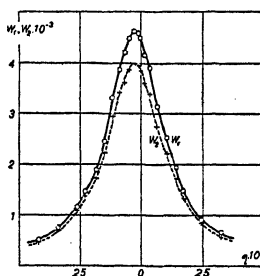
b) Frekvence  $\omega$  a  $\omega_1$  jsou konstantní,  $\omega_2$  je proměnné.

Křivky  $W_1$  mají vzhled zcela rozdílný od křivek v případě a). Křivky  $W_2$  zachovávají vzhled obyčejných rezonančních křivek s jediným maximem. Analogicky jako v případě a) je nutno rozeznávat tři případy:



Obr. 9.

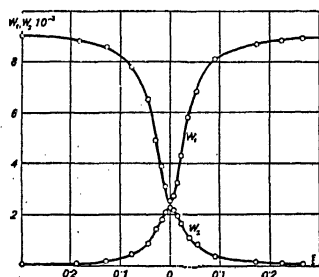
Křivky  $W_1, W_2$  v závislosti na  $\eta$ .  
 $\xi = 1,6 \cdot 10^{-2}$ ,  $\omega = 6,27 \cdot 10^6$  cyklů,  
 $k = 13,2 \cdot 10^{-3}$  (těsně před optimální vazbou).



Obr. 10.

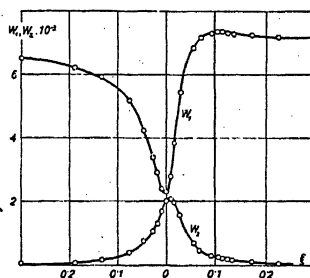
Křivky  $W_1, W_2$  v závislosti na  $\eta$ .  
 $\xi = -1,7 \cdot 10^{-2}$ ,  $\omega = 6,27 \cdot 10^6$  cyklů,  
 $k = 13,2 \cdot 10^{-3}$  (těsně před optimální vazbou).

a)  $\eta = 0$ . Primární kruh je v rezonanci s generátorem, mění se frekvence sekundárního kruhu. Křivky  $W_1$  jsou v tomto případě rezonanční křivky s jediným extrémem, a to minimum, které se



Obr. 11.

Křivky  $W_1, W_2$  v závislosti na  $\xi$ .  
 $\eta = 0$ ,  $\omega = 5,3_8 \cdot 10^6$  cyklů,  
 $k = 14,5 \cdot 10^{-3}$ .



Obr. 12.

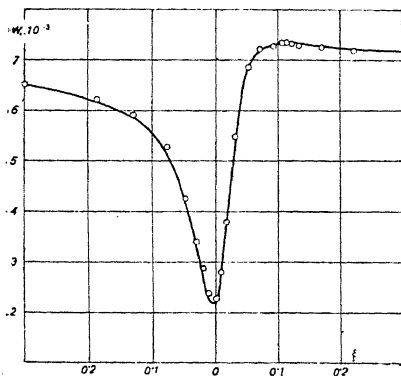
Křivky  $W_1, W_2$  v závislosti na  $\xi$ .  
 $\eta = 6 \cdot 10^{-3}$ ,  $\omega = 5,3_8 \cdot 10^6$  cyklů,  
 $k = 14,6 \cdot 10^{-3}$ .

vždy nachází v bodě  $\xi = 0$  (obr. 11). S rostoucí vazbou minimum  $W_1$  neustále klesá, stále však zůstává na ose  $\xi = 0$ . Křivky se s rostoucí vazbou rozšiřují a zůstávají symetrické k ose pořadnic.

Křivky  $W_2$  mají (obr. 11) charakter obyčejných rezonančních křivek s maximem na ose  $\xi = 0$  pro všechny hodnoty koeficientu.

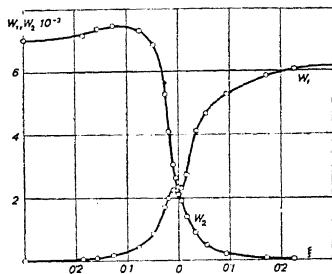
vazby. Maxima  $W_2$  v závislosti na vazbě probíhají křivku tvaru křivky  $W_2$  na obr. 5; existuje tedy i zde optimální vazba.

$\beta$ )  $\eta > 0$ . Zvolíme-li  $\eta$  kladné, obdržíme rezonanční křivky  $W_1$  nesymetrické se dvěma extrémy (obr. 12). Maximum existuje v bodě  $\xi > 0$ , minimum v bodě  $\xi < 0$ . Roste-li parametr  $\eta$ , přibližují se maxima  $W_1$  zřetelně k ose  $\xi = 0$  a vystupují určitěji, minima se naopak stávají širšími. Maxima křivek  $W_2$  existují v bodě  $\xi > 0$ , srovnej (54); s rostoucím  $\eta$  ( $k = \text{konst.}$ ) se vzdalují,



Obr. 13.

Křivka  $W_1$  vypočtená pro  $\eta = 6 \cdot 10^{-3}$ ,  $\omega = 5,38 \cdot 10^6$  cyklů,  $k = 14,6 \cdot 10^{-3}$  s nanesenými měřenými body.



Obr. 14.

Křivky  $W_1, W_2$  v závislosti na  $\xi$   $\eta = -6 \cdot 10^{-3}$ ,  $\omega = 5,38 \cdot 10^6$  cyklů,  $k = 14,6 \cdot 10^{-3}$ .

pro  $\eta = d_1$  nabývají maximální vzdálenosti, načež se vracejí. Obrat v poloze maxim  $W_2$  je v soulase s výsledkem teorie. Dokladem toho, že experimentální křivky souhlasí úplně s křivkami teoretickými, je obr. 13, kde na vypočtené křivce  $W_1$  jsou naneseny měřené body.

Sledujeme-li energetické křivky v závislosti na  $k$ , můžeme říci: s rostoucí vazbou se posunují v měřeném oboru maxima  $W_1$  k větším hodnotám  $\xi$ . O poloze minim se nemůže experiment bezpečně vysloviti; zůstávají totiž neustále velmi blízko osy  $\xi = 0$  v oboru záporných  $\xi$ . Hodnota minim  $W_1$  s rostoucí vazbou neustále klesá, maxima  $W_2$  vzrůstají až k optimální hodnotě, pak klesají. V závislosti na vazbě se posunují maxima  $W_2$  k větším  $\xi$ , ve shodě s teorií (54).

$\gamma$ )  $\eta < 0$ . Zvolíme-li  $\eta$  záporné, obdržíme (obr. 14) zrcadlové obrazy křivek  $W_1$  a  $W_2$  pro  $\eta > 0$ . Platí o nich tedy vice versa totéž, co bylo řečeno o těchto křivkách sub  $\beta$ ).

c) Maximální přenos energie.

V závislosti na koeficientu spřažení  $k$  má křivka maxim  $W_2$  při rozladěných kruzích též charakter jako křivka  $W_2$  na obr. 5. Maximum energie  $W_2$  nabývá své největší hodnoty pro optimální hodnotu vazby, jejíž existenci dokázaly experimentální výsledky sub. a) a b).

Měření potvrdila, že v žádném případě nezávisí při optimální vazbě energie do sekundárního kruhu přenesená ani na ohmickém odporu sekundárního kruhu, ani na rozladění obou kruhů. Mimo to je při optimální vazbě s postačující přesností splněna podmínka  $W_1^{(opt)} = W_2^{(opt)}$ . Ovšem vazba při optimálním přenosu je funkcí odporu obou kruhů a jejich rozladění. Kvalitativně ukazuje experiment, že s rostoucím odporem v sekundárním kruhu nebo s rostoucím rozladěním obou kruhů je potřebí k docílení optimálního přenosu těsnější vazby.

Přesné měření je obtížné. Nutno zde závisle měniti dvě veličiny: rozladění a hodnotu vazby (57), (59). Proto jsem v okolí optimální vazby proměřoval celou řadu křivek pro blízké hodnoty vazby a optimální vazbu určil stanovením nejvyššího maxima.

Uvedu tabulku měření optimálních hodnot  $W_2$  pro několik přidavných odporů  $\rho$  v sekundárním kruhu při rozladění  $\xi = 8,6 \cdot 10^{-3}$ .

$\rho \Omega$	$d_2$	$W_2^{(opt)}$	$k = \sqrt{d_1 d_2 (1 + \xi^2 / d_2^2)}$	
			měřené	počítané
0	$2,12 \cdot 10^{-2}$	$3,56 \cdot 10^3$	$17,3 \cdot 10^{-3}$	$16,4 \cdot 10^{-3}$
3,373	$2,69 \cdot 10^{-2}$	$3,59 \cdot 10^3$	$18,5 \cdot 10^{-3}$	$18,0 \cdot 10^{-3}$
6,9687	$3,30 \cdot 10^{-2}$	$3,55 \cdot 10^3$	$20,1 \cdot 10^{-3}$	$19,6 \cdot 10^{-3}$
10,1374	$3,84 \cdot 10^{-2}$	$3,55 \cdot 10^3$	$22,5 \cdot 10^{-3}$	$20,9 \cdot 10^{-3}$
15,3268	$4,74 \cdot 10^{-2}$	$3,55 \cdot 10^3$	$23,7 \cdot 10^{-3}$	$23,0 \cdot 10^{-3}$

Rozdíl hodnot  $W_2^{(opt)}$  od středu  $3,56 \cdot 10^3$  erg/sec činí necelé 1%; měřené hodnoty  $k$  s rostoucím  $\rho$  skutečně rostou, jak vyžaduje teorie a shodují se dosti dobře s hodnotami vypočtenými.

#### Část IV.

Konečně jsem se zabýval po stránce experimentální případem, že frekvence  $\omega$ ,  $\omega_1$ ,  $\omega_2$  jsou vázány t. zv. rovnicí frekvencí. Příklad tento nastává v praxi na př. u lampového generátoru s vlastním buzením a sekundárním kruhem.

K tomu účelu bylo nutno dosud užívanou aparaturu poněkud změniti: Oscilační kruh I na obr. 1 byl odstraněn, kruh II byl přímo spřažen s oscilačním kruhem generátoru a proto byla cívka  $L$  generátoru namontována na místo cívky  $L''_1$ . V sekundárním kruhu byl

termoelement nahrazen direktně ukazujícím tepelným ampérmetrem s rozsahem do 500 mA.

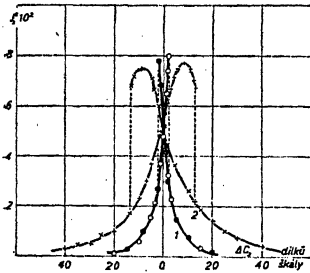
Cílem měření bylo získání rezonančních křivek  $I_2^2$  v závislosti na

$$x = \frac{\omega_2^2}{\omega_1^2} \text{ resp. na změně kapacity } \Delta C_2 = \text{konst. } (1 - x).$$

( $\Delta C_2$  jsem nanášel v dílcích normálního kondensátoru; 1 dílek =  $1,5 \mu\mu\text{F}$ ) pro různé vazby a sice ve dvou případech, které jsou i v teorii rozlišeny, totiž 1.  $d_1 > d_2$ , 2.  $d_1 < d_2$ .

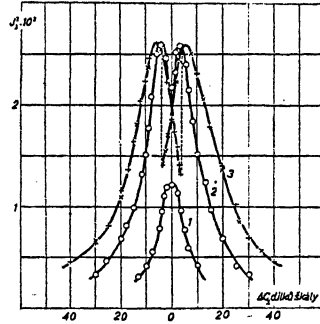
1. Křivky  $I_2^2$  pro případ  $d_1 > d_2$ .

Křivky  $I_2^2$  pro volnou vazbu mají charakter obyčejných rezonančních křivek. S rostoucí vazbou se stává maximum rezonanční křivky ostřejší, až se konečně dostaneme do takového oboru



Obr. 15.

Křivky  $I_2^2$  pro  $\omega_0 = 6,27 \cdot 10^6$  cyklů ( $\Delta C_2 = 0$ ). 1.  $l = 14$  cm, 2.  $l = 8$  cm;  $d_1 > d_2$ ;  $I_2$  v amp.



Obr. 16.

Křivky  $I_2^2$  pro  $\omega_0 = 6,27 \cdot 10^6$  cyklů. 1.  $l = 15$  cm, 2.  $l = 10$  cm, 3.  $l = 8$  cm;  $d_1 < d_2$ ;  $I_2$  v amp.

vazby, kde se intenzita oscilací v sekundárním kruhu mění skokem (obr. 15). Resonanční křivky se skládají pak ze dvou protínajících se větví. Zvětšujeme-li spojitě kapacitu  $C_2$  sekundárního kruhu od hodnot menších, než je kapacita odpovídající resonanci, mění se intenzita nejprve spojitě (při tom postupujeme po první větvi křivky až za resonanci), při dalším zvyšování kapacity klesne intenzita oscilací podél vyčárkované čáry skokem s první větve na druhou. Při dalším zvětšování kapacity mění se intenzita opět spojitě podél stabilní části druhé větve. Při zmenšování kapacity  $C_2$  od hodnot větších než odpovídá resonanci mění se  $I_2^2$  podle větve druhé, pak náhle skočí podél čárkované čáry s konce větve druhé na stabilní část větve první. Křivky 1 a 2 liší se od sebe tím, že u křivky 1, jež byly získány při volnější vazbě, odpovídají konce větvi

maximu intensity, kdežto u křivek 2, jež byly získány při tužší vazbě, přechází každá větev přes maximum k bodu přeskoku.

Větší či menší symetrie větví těchto křivek závisela na tuhosti zpětné vazby generátoru; při velmi těsné vazbě se objevily křivky zcela nesymetrické.

## 2. Křivky pro případ $d_1 < d_2$ .

Charakter křivek  $I_2^2$  je pro volnou vazbu týž jako charakter křivek sub 1. (obr. 16, 1). Při poněkud těsnější vazbě obdržíme křivky typu 2 na obr. 16. Křivky mají dvě maxima, mezi nimiž se na ose nachází minimum. Celá křivka se proběhne spojitě, je stabilní. Při tuhých vazbách nastávají skoky v intenzitě oscilací; intenzita se mění skokem od hodnot nižších k hodnotám vyšším podle čárkovaných přímek. Dostáváme křivky typu 3 na obr. 16 s dvěma maximy.

Křivky právě popsané v případech 1. i 2. shodují se charakterem s křivkami  $W_2 = W_2/E^2$ , které odvodil Petržílka v III. části, a to pro 4 uvažované případy vazby: volno-volná, těсно-volná, volno-těsná, těсно-těsná.

Volno-volné vazbě odpovídají křivky tvaru 1 na obr. 16. V případě těсно-volné vazby křivky tvaru 1 přecházejí v křivky 2 na obr. 16. Křivky tvaru 1 na obr. 15 charakterisují případ volno-těsné vazby. V případě těсно-těsné vazby existují křivky tvaru 2 na obr. 15, resp. křivky tvaru 3 na obr. 16.

## Část V.

### Měření útlumů.

Útlumy oscilačních kruhů, definované vzorci  $d_1 = R_1/\omega L_1$ ,  $d_2 = R_2/\omega L_2$ , lze jednak vypočítati ze známých veličin  $R_1$ ,  $R_2$ ,  $L_1$ ,  $L_2$ ,  $\omega$ , jednak stanoviti přímo v případě, že  $\omega$  je konstantní,  $\omega_1$  a  $\omega_2$  proměnné, těmito metodami:

a) Útlum  $d_1$  z křivek  $W_2$  v závislosti na  $\eta$ . Stanovení útlumu  $d_1$  se dá provésti pro  $\xi \geq 0$ , jak v případě velmi volné vazby, tak v případě vazby optimální. Nejlépe je k tomu použití redukovaných křivek  $W_2/W_2^{(opt)}$ . Jak počet ukazuje, je šířka rezonanční křivky v případě velmi volné vazby ( $k \approx 0$ ) přibližně rovná dvojnásobnému útlumu  $2d_1$ , v případě optimální vazby

$$k_0^2 = d_1 d_2 \text{ resp. } k_0^2 = d_1 d_2 (1 + \xi^2/d_2^2)$$

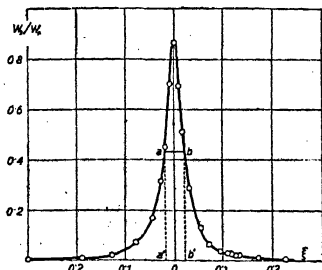
přesně čtyřnásobnému útlumu  $4d_1$ . Tento výsledek byl měřením potvrzen. Skutečně byla rezonanční křivka při optimální vazbě dvakrát širší než při vazbě velmi volné. Útlum plynoucí z měření při optimální vazbě je  $7,4 \cdot 10^{-3}$ ,  $7,62 \cdot 10^{-3}$ ,  $7,38 \cdot 10^{-3}$ ,



hodnota direktně počítaná je  $7,4 \cdot 10^{-3}$ , tedy rozdíl od středu 1%. Pro velmi volnou vazbu bylo těžko určití útlum s dostatečnou přesností, jednak proto, že rezonanční křivka byla úzká, jednak proto, že výchylky galvanometru jsou při velmi volné vazbě malé a možná relativní chyba veliká.

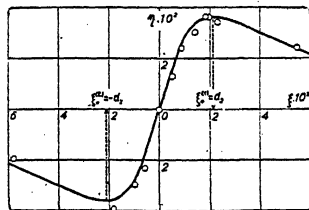
*β) Útlum  $d_2$  z křivek  $W_2$  v závislosti na  $\xi$ .*

Útlum  $d_2$  byl určován analogicky z rezonanční křivky při velmi volné i při optimální vazbě. V souhlase s teorií bylo nalezeno, že šířka rezonanční křivky při optimální vazbě je opět dvakrát větší než při velmi volné vazbě. Hodnoty  $d_2$  z měření při velmi volné vazbě byly  $1,92 \cdot 10^{-2}$ ,  $2,07 \cdot 10^{-2}$ ,  $1,98 \cdot 10^{-2}$ , při optimální vazbě



Obr. 17.

Křivka  $W_2/W_1$  měřená pro  $\eta = 6 \cdot 10^{-3}$ ,  $\omega = 5,38 \cdot 10^6$  cyklů,  
 $k = 14,6 \cdot 10^{-3}$ ;  $ab = 2d_2$ .



Obr. 18.

Křivka  $\eta = k^2 \xi / (d_2^2 + \xi^2)$  (křivka poloh maxim  $W_2$ ) vypočtená pro  $k = 39 \cdot 10^{-3}$  v závislosti na parametru  $\xi$ . Maxima pro  $\xi = \pm d_2$ . Nanesené body jsou body měřené.

naměřeno  $1,90 \cdot 10^{-2}$ ,  $1,97 \cdot 10^{-2}$ ,  $1,98 \cdot 10^{-2}$ . Hodnoty měřené při optimální vazbě souhlasí mezi sebou lépe. Všechny hodnoty však se neliší od středu více než o 3,5%.

*γ) Útlum  $d_2$  z křivek  $W_2/W_1$ .*

Z měřených hodnot  $W_1$  a  $W_2$  sestrojil jsem křivky  $W_2/W_1$  v závislosti na  $\xi$  pro  $\eta \gtrsim 0$  (obr. 17,  $\eta > 0$ ). Jsou to křivky typu jednoduchých rezonančních křivek s jediným maximem v bodě  $\xi = 0$ . Jejich šířka je  $2d_2$  nezávisle na vazbě  $k$ . Experimentálně našel jsem ve shora zmíněných třech případech  $d_2 = 1,99 \cdot 10^{-2}$ ,  $2,0 \cdot 10^{-2}$ ,  $1,93 \cdot 10^{-2}$ , což dobře souhlasí s hodnotami v odstavci  $\beta$ ) zjištěnými.

Jsou tedy důsledky teorie experimentem v mezích přesnosti potvrzeny.

δ) Útlumy  $d_1, d_2$  z posuvu maxim  $W_2$ .

Křivky  $W_2$  v závislosti na  $\xi$  mají maximum v bodě  $\xi = \eta k^2 / (d_1^2 + \eta^2)$  (54). Je-li  $k$  konst., nabývá maximum v závislosti na parametru  $\eta$  největší vzdálenosti od bodu  $\xi = 0$  pro  $\eta = \pm d_1$ . Experiment to potvrdil zcela dobře. Vypočetl jsem křivku  $\xi = k^2 \eta / (d_1^2 + \eta^2)$  pro dané  $k$ , při kterém jsem měřil, a do grafu nanášel příslušná  $\xi$  a  $\eta$ , pro něž maximum  $W_2$  nastalo. Body ležely uspokojivě na křivce vypočtené.

Analogicky plyne z teorie (50), že vzdálenost maxim  $W_2$  od bodu  $\xi = 0$  je největší pro  $\xi = \pm d_2$ . Vypočetl jsem z měřených hodnot křivku  $\eta = k^2 \xi / (d_2^2 + \xi^2)$  a do grafu nanášel příslušná  $\xi$  a  $\eta$ , při nichž maximum  $W_2$  nastávalo (obr. 18). Měřené body leží dosti dobře na vypočtené křivce. Ovšem tato metoda se pro svou komplikovanost a tím způsobenou nepřesnost nehodí k měření útlumu.

### Závěr.

V závěru bych rád uvedl několik poznámek o shodě teorie s experimentálními výsledky.

V případech, kdy nebylo třeba k teoretické diskusi odvozených výrazů a z nich plynoucích výsledků zaváděti zjednodušující předpoklady, shoduje se experiment s teorií v mezích pozorovacích chyb. Tyto chyby, které byly dány přesností aparatury, nepřevýšily nikdy 3%, v čemž jsou zahrnuty i všechny rušivé vlivy. S touto přesností byly experimentem potvrzeny zajímavé výsledky teorie, jako je existence optimálního přenosu energie (část I. a III.) a různé tvary energetických křivek (část III.).

Ale i v těch případech, kdy byla při diskusi veličina  $\eta$  jakožto velmi malá vůči 1 zanedbána (část I.), ukázal experiment, že je to předpoklad oprávněný. Potvrdila tedy předložená práce experimentálně v celém rozsahu práci Petržílkovu.

Vedle toho ji však také experimentálně doplnila (část II. a IV.), takže obě práce dohromady podávají nyní souhrnný obraz energetických poměrů ve dvou sprzęžených oscilačních kruzích.

### II. oddělení fyzikálního ústavu Karlovy university v Praze.

1. V. Petržílka: Čas. pro pěst. mat. a fys., 59, 113, 172, 245, (1930). —
2. V. Petržílka: Elektrische Nachrichtentechnik, 7, 317, (1930), 8, 122, (1931). —
3. A. Žáček a V. Petržílka: Čas. pro pěst. mat. a fys., 59, 99, (1930). —
4. E. Alberti: Jahrb. d. drahtl. Telegr. u. Teleph., 16, 252, (1920). —
5. E. Giebe u. E. Alberti: Jahrb. d. drahtl. Telegr. u. Teleph., 16, 242, (1920). —
6. K. Heegner: Jahrb. d. drahtl. Telegr. u. Teleph., 29, 179, (1927). —
7. H. Pauli: Ztschr. f. Phys., 5, 385, (1921).

\*

## Contribution à l'étude expérimentale des énergies dans deux circuits oscillatoires couplés.

(Extrait de l'article précédent.)

Ce travail est une vérification expérimentale ainsi qu'un complément expérimental du travail théorique de M. Petržílka, en présentant des résultats de l'étude expérimentale obtenus par une apparatus bien adaptée pour satisfaire aux conditions théoriques.

*Partie I<sup>ère</sup>.* On a étudié les courbes d'énergies  $W_1$ ,  $W_2$ , dans le cas où la fréquence  $\omega$  de la force électromotrice imprimée est variable, les fréquences propres de deux circuits étant égales ( $\omega_1 = \omega_2 = \omega_0$ ), en fonctions du désaccord  $\xi = \eta = 1 - \omega_0^2/\omega^2$ .

Ce cas fournit des courbes simples et bifurquées représentées par les fig. 2 et 3. On a trouvé que les limites des domaines de l'existence de ces deux sortes de courbes sont fournies, en effet, par les courbes algébriques  $H_1$ ,  $H_2$  (fig. 4).

En étudiant le maximum de  $W_2$  en fonction de  $k$ , on a trouvé que la valeur „optimale“ de  $W_2$  ne dépend pas de la résistance ohmique du circuit secondaire. Dans ce cas, on a  $W_2^{(opt)} = W_1^{(opt)}$ , et le coefficient de couplage est donné par la formule  $k_0^2 = d_1 d_2$ . L'expérience a montré que cette condition est bien remplie.

*Partie II<sup>ème</sup>.* La discussion théorique des courbes  $W_1$ ,  $W_2$  en fonction de  $\omega$  au cas où les fréquences  $\omega_1 \neq \omega_2$  restent constantes, perd son sens, étant trop compliquée. Les expériences ont donné des courbes asymétriques (fig. 6 et 7) simples et bifurquées analogues à celles de la partie I<sup>ère</sup>.

*Partie III<sup>ème</sup>.* On laisse  $\omega$  constant et fait varier une des fréquences  $\omega_1$ ,  $\omega_2$ .

$\omega_1$  étant variable, on a trouvé des courbes  $W_1$ ,  $W_2$  en fonction de  $\eta$  qui ont la forme des courbes de résonance simples avec un maximum. Le rapport  $W_2/W_1$  reste constant avec une précision supérieure à 3 pour cent.

Si l'on fait varier  $\omega_2$ , on obtient les courbes en fonction de  $\xi$ . Dans le cas  $\eta = 0$  les courbes  $W_1$  sont symétriques et possèdent un seul minimum;  $\eta$  étant différent de zéro, les courbes  $W_1$  ont un maximum et un minimum. Les courbes  $W_2$  restent constamment simples avec un seul maximum.

Les relations théoriques pour le transport maximum de l'énergie dans le circuit secondaire sont vérifiées de même avec une précision supérieur à 3 pour cent.

*Partie IV<sup>ème</sup>.* Le but de cette partie est d'étudier expérimentalement les courbes  $I_2^2$  en fonction du changement de capacité

$\Delta C_2$ , qui est proportionnel au changement de  $x = \omega_2^2/\omega_1^2$  en cas où „l'équation de la fréquence“ est satisfaite. Les courbes  $I_2^2$  caractéristiques obtenues expérimentalement ont qualitativement la forme donnée par la théorie pour les courbes  $W'_2 = W_2/E^2$ .

*Partie V<sup>ème</sup>.* La théorie a donné quelques résultats qui permettent la détermination des amortissements respectifs  $d_1, d_2$ . En effet, les valeurs mesurées montrent un bon accord mutuel et correspondent bien à celles calculées directement.

---